



TECHNISCHE UNIVERSITÄT
BERGAKADEMIE FREIBERG

Die Ressourcenuniversität. Seit 1765.

Numerische Simulation mit finiten Elementen

O. Rheinbach

INHALT

0.1 Finite Differenzen in 2D

1. Einleitung

1.1 Vorbemerkungen

1.2 Rand- und Anfangswertaufgaben

2. Variationsformulierung von Randwertaufgaben

2.1 Vorbemerkungen

2.2 Bezeichnungen und mathematische Hilfsmittel

2.3 Referenzaufgaben in 2D

2.4 Variationsformulierung der Poisson-Gleichung

2.5 Galerkin-Approximation

2.6 Variationsformulierung der Helmholtz-Gleichung

3. Lagrange-Elemente

3.1 Einleitung

3.2 Konstruktion von Finite-Element-Räumen

3.3 Assemblierung der Galerkin-Gleichungen

INHALT II

3.4 Beispiel: 1D Poissongleichung

3.5 Konvergenz

3.6 Numerische Integration

3.7 Beispiel: 2D Poissongleichung

Schema zur Assemblierung des Galerkin-Gleichungssystems

Beispiel zur 2D Poissongleichung

4. Nédélec-Elemente

4.1 Einleitung

4.2 Neue Variationsräume

Variationsformulierung

Helmholtz-Zerlegung

4.3 Divergenz- und Rotationskonforme Elemente

Gebietstransformationen - Gradientoperator

Rotationskonforme Finite Elemente

FINITE DIFFERENZEN

DIE LAPLACE-GLEICHUNG IM EINHEITSQUADRAT: DIE DIRICHLETSCHES RANDWERTAUFGABE

Wir betrachten folgende Randwertaufgabe (RWA) für die Laplace-Gleichung:

$$\Delta u = u_{xx} + u_{yy} = 0 \quad \text{auf } \Omega := (0, 1)^2, \quad (1a)$$

$$u = g \quad \text{auf } \Gamma := \partial\Omega, \quad (1b)$$

mit einer gegebenen auf Γ definierten Randfunktion $g = g(x, y)$.

Wie bei gewöhnlichen DGLn werden bei der Diskretisierung von (1) mittels **Differenzenverfahren** Approximationen an die Lösung $u = u(x, y)$ nicht an allen Punkten von Ω gesucht, sondern lediglich an endlich vielen **Gitterpunkten**.

Betrachte jede Koordinate separat: mit den Zerlegungen

$$0 = x_0 < x_1 < x_2 < \cdots < x_{n_x} < x_{n_x+1} = 1,$$

$$0 = y_0 < y_1 < y_2 < \cdots < y_{n_y} < y_{n_y+1} = 1$$

von $[0, 1]$ definieren wir das **Gitter (Tensorprodukt-Gitter)**

$$\Omega_h := \{(x_i, y_j) : 0 \leq i \leq n_x + 1, 0 \leq j \leq n_y + 1\}$$

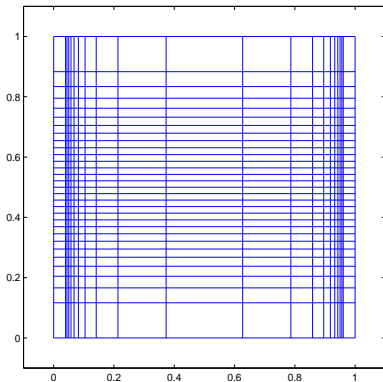
bestehend aus $(n_x + 2)(n_y + 2)$ Punkten.

Von einem **(in jeder Richtung) gleichmäßigen (äquidistanten) Gitter** spricht man im Fall

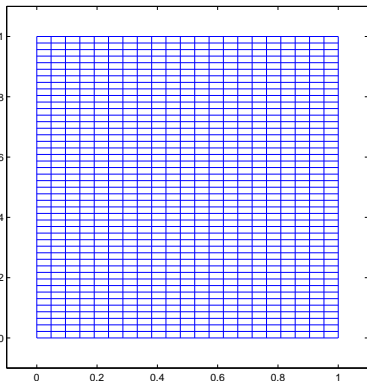
$$x_i = i\Delta x, \quad i = 0, 1, \dots, n_x + 1, \quad \Delta x = 1/(n_x + 1),$$

$$y_j = j\Delta y, \quad j = 0, 1, \dots, n_y + 1, \quad \Delta y = 1/(n_y + 1)$$

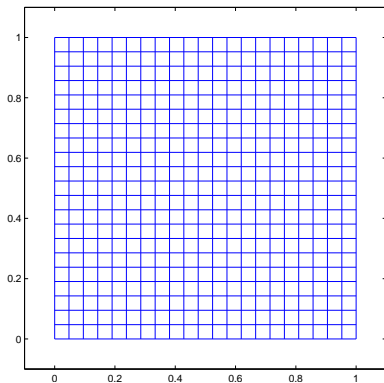
Bei gleichen Abständen (**uniformes Gitter**) setzen wir $h := \Delta x = \Delta y$.



Tensorprodukt-Gitter



äquidistantes Gitter



uniformes Gitter

Wir betrachten zunächst ausschließlich den uniformen Fall $\Delta x = \Delta y = h$.

Bezeichnungen:

$u_{i,j} := u(x_i, y_j)$ Funktionswert der exakten Lösung im Punkt (x_i, y_j)

$U_{i,j} \approx u_{i,j}$ Approximation an $u(x_i, y_j)$.

Taylor-Entwicklung im Punkt (x_i, y_j) :

$$u_{i+1,j} = u_{i,j} + \left(hu_x + \frac{h^2}{2}u_{xx} + \frac{h^3}{6}u_{xxx} + \frac{h^4}{24}u_{xxxx} \right)_{i,j} + O(h^5),$$

$$u_{i-1,j} = u_{i,j} + \left(-hu_x + \frac{h^2}{2}u_{xx} - \frac{h^3}{6}u_{xxx} + \frac{h^4}{24}u_{xxxx} \right)_{i,j} + O(h^5),$$

Aufsummieren liefert (die Terme für h^5 heben sich ebenfalls auf)

$$u_{i+1,j} + u_{i-1,j} = 2u_{i,j} + \left(h^2u_{xx} + \frac{h^4}{12}u_{xxxx} \right)_{i,j} + O(h^6).$$

Analog erhält man in y -Richtung

$$u_{i,j+1} + u_{i,j-1} = 2u_{i,j} + \left(h^2 u_{yy} + \frac{h^4}{12} u_{yyyy} \right)_{i,j} + O(h^6)$$

und, nach Aufsummieren aller 4 Entwicklungen und Division durch h^2 ,

$$\underbrace{\frac{u_{i+1,j} + u_{i-1,j} + u_{i,j+1} + u_{i,j-1} - 4u_{i,j}}{h^2}}_{=:(\Delta_h u)_{i,j}} = \left(\Delta u + \frac{h^2}{12} (u_{xxxx} + u_{yyyy}) \right)_{i,j} + O(h^4).$$

Die Differenzenformel Δ_h wird als **5-Punkte-Stern** (engl. **5-point stencil**) bzw. **5-Punkte Laplace-Approximation** bezeichnet.

Fazit: Δ_h approximiert den Laplace-Operator an jedem Punkt mit einem **lokalen Diskretisierungsfehler** der Ordnung $O(h^2)$ für $h \rightarrow 0$.

Beachte: Voraussetzung für unsere Überlegung ist hinreichende Glattheit der Lösung, hier etwa $u \in C^4(\Omega)$.

Analog zur **Differentialgleichung** (1a) fordern wir für die Approximationen $U_{i,j}$ die Gültigkeit der Beziehungen

$$\Delta_h U_{i,j} := (\Delta_h U)_{i,j} = 0, \quad 1 \leq i \leq n_x, \quad 1 \leq j \leq n_y. \quad (2a)$$

(2a) stellt $n_x n_y$ Gleichungen für $(n_x + 2)(n_y + 2)$ Unbekannte dar, da der 5-Punkte-Stern in Randpunkten nicht anwendbar ist. Hier liefern die **Randbedingungen** die fehlenden Vorgaben:

$$U_{i,j} = g(x_i, y_j) \quad \text{falls } (x_i, y_j) \in \partial\Omega. \quad (2b)$$

(2b) lautet ausgeschrieben

$$\begin{aligned} U_{0,j} &= g(0, y_j), & U_{n_x+1,j} &= g(1, y_j), & 0 \leq j \leq n_y + 1, \\ U_{i,0} &= g(x_i, 0), & U_{i,n_y+1} &= g(x_i, 1), & 0 \leq i \leq n_x + 1. \end{aligned}$$

Die Gleichungen (2) stellen ein lineares Gleichungssystem

$$A\mathbf{u} = \mathbf{f} \quad (3)$$

dar für die Unbekannten Approximationen $U_{i,j}$ an den inneren Gitterpunkten. Zur Bestimmung der Koeffizientenmatrix A und der rechten Seite müssen wir eine **Nummerierung** der Unbekannten festlegen. Üblich ist hier die **lexicographische Ordnung**:

$$\mathbf{u} = [U_{1,1}, U_{2,1}, \dots, U_{n_x,1}, U_{1,2}, \dots, U_{n_x,2}, \dots, U_{1,n_y}, \dots, U_{n_x,n_y}]^\top$$

bzw.

$$\mathbf{u} = \begin{bmatrix} \mathbf{u}_1 \\ \mathbf{u}_2 \\ \vdots \\ \mathbf{u}_{n_y} \end{bmatrix}, \quad \text{mit} \quad \mathbf{u}_j = \begin{bmatrix} U_{1,j} \\ U_{2,j} \\ \vdots \\ U_{n_x,j} \end{bmatrix}, \quad j = 1, 2, \dots, n_y.$$

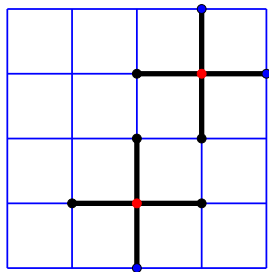
Die Matrix A besitzt die Blockstruktur

$$A = \frac{1}{h^2} \begin{bmatrix} T & I & & & \\ I & T & I & & \\ & I & \ddots & \ddots & \\ & & \ddots & I & I \\ & & & I & T \end{bmatrix} \in \mathbb{R}^{n_x n_y \times n_x n_y},$$

wobei I die $n_x \times n_x$ Einheitsmatrix bezeichnet und T die Tridiagonalmatrix

$$T = \begin{bmatrix} -4 & 1 & & & \\ 1 & -4 & 1 & & \\ & 1 & \ddots & \ddots & \\ & & \ddots & 1 & \\ & & & 1 & -4 \end{bmatrix} \in \mathbb{R}^{n_x \times n_x}.$$

Für Unbekannte $U_{i,j}$ in Randnähe, d.h. $i = 1, n_x$ oder $j = 1, n_y$, treten in der Differenzenformel (2a) Approximationswerte auf, welche durch die Dirichlet-Randbedingung (2b) bereits festgelegt sind. Bringt man diese auf die rechte Seite der jeweiligen Gleichung, so erhalten wir für die Einträge des Vektors f aus (3) in dem gezeichneten Beispiel



$$f_{3,3} = -\frac{1}{h^2} (g(x_3, y_4) + g(x_4, y_3)) \quad \text{bzw.} \quad f_{2,1} = -\frac{1}{h^2} g(x_2, y_0).$$

Durch die einfache Geometrie von Ω , die einfache Gestalt des Laplace-Operators und den einheitlichen Randbedingungen besitzt die Blocktridiagonalmatrix A zusätzliche Struktur: man kann sie gewissermassen aus Diskretisierungsmatrizen für eindimensionale RWA aufbauen.

Wir betrachten daher zunächst die Diskretisierung der (gewöhnlichen) eindimensionalen RWA

$$u''(x) = 0, \quad u(0) = g_0, \quad u(1) = g_1$$

mittels zentraler Differenzen mit konstanter Maschenweite $h = 1/(n + 1)$.

Die diskretisierte Gleichung ist gegeben durch das lineare Gleichungssystem

$$A_1 \mathbf{u} = \mathbf{f}, \quad A \in \mathbb{R}^{n \times n}, \quad \mathbf{f} \in \mathbb{R}^n,$$

mit

$$A_1 = \frac{1}{h^2} \text{tridiag}(1, -2, 1) := \frac{1}{h^2} \begin{bmatrix} -2 & 1 & & & \\ 1 & \ddots & \ddots & & \\ & \ddots & \ddots & 1 & \\ & & 1 & -2 & \\ & & & 1 & -2 \end{bmatrix}, \quad \mathbf{f} = -\frac{1}{h^2} \begin{bmatrix} g_0 \\ 0 \\ \vdots \\ 0 \\ g_1 \end{bmatrix}$$

und dem Vektor aus Unbekannten

$$U = [U_1, U_2, \dots, U_n]^\top, \quad U_i \approx u(x_i), \quad i = 1, 2, \dots, n.$$

Die Diskretisierung der zweidimensionalen RWA ist nun gegeben durch

$$A = T_1 \otimes I + I \otimes T_1 \quad (4)$$

mit $T_1 = \frac{1}{h^2} \text{tridiag}(-1, 2, -1)$.

Hierbei ist das **Kronecker-Produkt** $M \otimes N$ zweier Matrizen $M \in \mathbb{R}^{p \times q}$ und $N \in \mathbb{R}^{r \times s}$ definiert durch

$$M \otimes N = \begin{bmatrix} m_{1,1}N & \dots & m_{1,q}N \\ \vdots & & \vdots \\ m_{p,1}N & \dots & m_{p,q}N \end{bmatrix} \in \mathbb{R}^{pr \times qs}$$

und I die Einheitsmatrix in \mathbb{R}^n .

DIE NEUMANNSCHE RANDWERTAUFGABE

Wir betrachten den Fall, dass die Dirichlet-Randbedingung (1b) durch die Neumann-Randbedingung

$$\frac{\partial u}{\partial n} = h(x), \quad x \in \Gamma \quad (5)$$

ersetzt wird. Da in diesem Modellproblem die Gebietsränder (bis auf die vier Ecken) stets senkrecht zu den Gitterlinien verlaufen, ist die Diskretisierung von (5) auch nicht schwer: beispielsweise an den Randpunkten (x_0, y_j) :

$$\frac{U_{0,j} - U_{1,j}}{h} = h(x_0, y_j), \quad (\text{Rückwärtsdifferenz}),$$

$$\frac{U_{-1,j} - U_{1,j}}{2h} = h(x_0, y_j) \quad (\text{zentrale Differenz})$$

und analog an den übrigen Randpunkten.

DIE NEUMANNSCHE RANDWERTAUFGABE

DISKRETISIERUNG DER RANDBEDINGUNG

Beachte:

- Bei der zentralen Differenzenformel wurden sogenannte **Hilfspunkte** (ghost points) eingeführt, die mittels der im Punkt (x_0, y_j) zentrierten 5-Punkteformel wieder eliminiert werden können.
- Im Gegensatz zur Diskretisierung der Laplace-Gleichung mit gleicher Maschenweite h sind neben den inneren Unbekannten auch die zu Randpunkten gehörenden Näherungen $U_{i,j}$ zu bestimmen. Die diskrete RWA besitzt demnach $(n_x + 2) \cdot (n_y + 2)$ Unbekannte.

DIE NEUMANNSCHE RANDWERTAUFGABE

DISKRETISIERUNGSMATRIX

Als Diskretisierungsmatrix erhält man das Kronecker-Produkt

$$A = \tilde{T}_1 \otimes I + I \otimes \tilde{T}_1$$

mit

$$\tilde{T}_1 = \frac{1}{h^2} \begin{bmatrix} -1 & 1 & & & \\ 1 & -2 & \ddots & & \\ & & \ddots & & \\ & & & \ddots & -2 & 1 \\ & & & & 1 & -1 \end{bmatrix}$$

EIGENWERTE UND EIGENVEKTOREN

DIRICHLET-RBEN

Einer der Gründe, weshalb (1) oft als Modellproblem herangezogen wird, ist dass man die Spektralzerlegung der Diskretisierungsmatrix geschlossen darstellen kann.

Für die $n \times n$ Matrix $T_1 = \frac{1}{h^2} \text{tridiag}(1, -2, 1)$ gilt zunächst

$$T_1 \mathbf{v}_j = \lambda_j \mathbf{v}_j, \quad j = 1, 2, \dots, n,$$

mit den Eigenwerten

$$\lambda_j = \frac{2}{h^2} [\cos(j\pi h) - 1] = -\frac{4}{h^2} \sin^2(j\pi h/2) \quad (6)$$

und (orthonormalen) Eigenvektoren

$$[\mathbf{v}_j]_k = \sqrt{\frac{2}{n+1}} \sin(jk\pi h), \quad k = 1, 2, \dots, n; j = 1, 2, \dots, n.$$

EIGENWERTE UND EIGENVEKTOREN

KRONECKER-TRICK

Aufgrund von Eigenschaften von Kronecker-Produkten lassen sich die Eigenwerte und -vektoren des 2D-Problems aus den entsprechenden aus 1D aufbauen: die Eigenwerte von A aus (4) sind gegeben durch

$$\lambda_{i,j} = \lambda_i + \lambda_j, \quad 1 \leq i, j \leq n, \quad (7)$$

und die Eigenvektoren durch

$$\mathbf{v}_{i,j} = \mathbf{v}_i \otimes \mathbf{v}_j, \quad 1 \leq i, j \leq n.$$

STABILITÄT UND KONVERGENZ

Wir haben bereits bei der Herleitung der 5-Punkte-Approximation Δ_h des Laplace-Operators gezeigt:

$$\Delta_h u_{i,j} = \Delta u_{i,j} + \frac{h^2}{12} (u_{xxxx} + u_{yyyy})_{i,j} + O(h^4).$$

Setzt man

$$\begin{aligned} [d_h]_{i,j} &:= \Delta_h u_{i,j} - \Delta u_{i,j} && \text{(lokaler Diskretisierungsfehler)} \\ [e_h]_{i,j} &:= u_{i,j} - U_{i,j} && \text{(globaler Diskretisierungsfehler)} \end{aligned}$$

so erfüllt e_h wegen $\Delta u = 0$ das lineare Gleichungssystem

$$A_h e_h = d_h = O(h^2)$$

mit $A_h = A$ der Matrix aus (4).

STABILITÄT UND KONVERGENZ

Folglich gilt $e_h = A_h^{-1} d_h$ und wegen

$$\|e_h\| = \|A_h^{-1} d_h\| \leq \|A_h^{-1}\| \|d_h\|$$

Überträgt sich das $O(h^2)$ -Verhalten für $h \rightarrow 0$ vom lokalen auf den globalen Diskretisierungsfehler, wenn $\|A_h^{-1}\|$ **für alle hinreichend kleinen $h > 0$ gleichmäßig beschränkt bleibt**.

Betrachten wir die Euklid-Norm $\|\cdot\| = \|\cdot\|_2$, so gilt

$$\|A_h^{-1}\| = \frac{1}{|\lambda_{\min}(A_h)|}.$$

Die gleichmäßige Beschränktheit folgt nun aus (6) und (7), da

$$|\lambda_{\min}(A_h)| = \frac{4}{h^2} \cdot 2 \sin \frac{\pi h}{2} = 2\pi^2 + O(h^2).$$

STABILITÄT UND KONVERGENZ

FAZIT

Bei der Diskretisierung des Modellproblems (1) mit zentralen Differenzen und uniformer Maschenweite h verhält sich der (globale) Diskretisierungsfehler wie $O(h^2)$ für $h \rightarrow 0$, sofern die Lösung u viermal stetig differenzierbar ist.

Die Beschränktheit von $\|A_h^{-1}\|$ für $h \rightarrow 0$ nennt man in diesem Zusammenhang **Stabilität** des Differenzenschemas.

DIE POISSON-GLEICHUNG

Ersetzt man in der RWA (1) die Differentialgleichung (1a) durch die inhomogene Gleichung

$$-\Delta u = f \quad (\text{Poisson-Gleichung}), \quad (8)$$

mit einer gegebenen, auf Ω definierten Funktion $f = f(x, y)$, so wird die diskrete Gleichung (2a) zu

$$-\Delta_h U_{i,j} = f_{i,j}, \quad \text{mit} \quad f_{i,j} = f(x_i, y_j), \quad 1 \leq i \leq n_x, \quad 1 \leq j \leq n_y.$$

Auf die Dirichlet-Randwerte auf der rechten Seite des resultierenden linearen Gleichungssystems (3) werden entsprechend die Funktionswerte $f_{i,j}$ addiert.

DER 9-PUNKTE-STERN

Da die Formeln für Differenzenschemata wie $\Delta_h u$, vor allem in 2 und 3 Raumdimensionen, schnell unhandlich werden, wird oft als Kurzschreibweise das Schema der Gewichte entsprechend ihrer Gitteranordnung verwendet:

$$\Delta_h \triangleq \frac{1}{h^2} \begin{bmatrix} 0 & 1 & 0 \\ 1 & -4 & 1 \\ 0 & 1 & 0 \end{bmatrix}.$$

Eine weitere Approximation des Laplace-Operators besitzt das Schema

$$\Delta_h^{(9)} \triangleq \frac{1}{6h^2} \begin{bmatrix} 1 & 4 & 1 \\ 4 & -20 & 4 \\ 1 & 4 & 1 \end{bmatrix}$$

und wird als **9-Punkte-Stern** bezeichnet.

DER 9-PUNKTE-STERN

KONSISTENZ

Ein Taylor-Abgleich analog zum 5-Punkttestern ergibt

$$\Delta_h^{(9)} u = \Delta u + \frac{h^2}{12} (u_{xxxx} + 2u_{xxyy} + u_{yyyy}) + O(h^4).$$

Die Konsistenzordnung ist somit dieselbe wie die von Δ_h . Der führende Fehlerterm ist jedoch gegeben durch den biharmonischen Operator

$$u_{xxxx} + 2u_{xxyy} + u_{yyyy} = \Delta(u_{xx} + u_{yy}) = \Delta(\Delta u) = \Delta^2 u.$$

DER 9-PUNKTE-STERN

KONSISTENZ

Man kann sich dies beim Lösen der Poisson-Gleichung $-\Delta u = f$ wie folgt zunutze machen: der lokale Diskretisierungsfehler der diskreten Gleichung

$$-\Delta_h^{(9)} U_{i,j} = \tilde{f}_{i,j}, \quad 1 \leq i \leq n_x, \quad 1 \leq j \leq n_y,$$

mit der modifizierten rechten Seite

$$\tilde{f}_{i,j} := f(x_i, y_j) + \frac{h^2}{12} \Delta f(x, y)$$

ist von der Ordnung $O(h^4)$.